

การปรับเพิ่มประสิทธิภาพของสายอากาศร่องหกเหลี่ยมด้านเท่า ที่ป้อนด้วยสายนำสัญญาณระนาบร่วมแบบแฉบความถี่กว้าง ด้วยเทคนิคสตริปโลหดร่วมกับเทคนิคซองว่างແกนแม่เหล็กไฟฟ้า

Efficiency Improvement of Broadband CPW Fed

Equilateral Hexagonal Slot Antenna with Strip-Slit and EBG Technique

รัตตพล จันวงศ์¹ ชลดา ปานสง² อรุณรัตน์ เรืองวรรธ์^{3*}

^{1,2} สาขาวิชาครุศาสตร์อิเล็กทรอนิกส์และโทรคมนาคม คณะครุศาสตร์อุตสาหกรรม มหาวิทยาเทคโนโลยีราชมงคลรัตนบุรี อ.รัตนบุรี จ.ปทุมธานี 12110

³ ภาควิชาวิศวกรรมอิเล็กทรอนิกส์และโทรคมนาคม คณะวิศวกรรมศาสตร์ มหาวิทยาเทคโนโลยีราชมงคลรัตนบุรี อ.รัตนบุรี จ.ปทุมธานี 12110

Rattapon Jeenawong¹ Chollada Pansong² Amnoy Ruengwaree³

¹ Division of Electronic and Telecommunication Education, Faculty of Technical Education ,

Rajamangala University of Technology Thunyaburi, Phatumthani 12110

^{2,3} Department of Electronic and Telecommunication Engineering, Faculty of Engineering,

Rajamangala University of Technology Thunyaburi, Phatumthani 12110

E-mail: J_rattapon@rmutt.ac.th

งานวิจัยฉบับนี้ได้นำเสนอการศึกษาและปรับเพิ่มประสิทธิภาพของสายอากาศร่องหกเหลี่ยมด้านเท่าที่ป้อนด้วยสายนำสัญญาณระนาบร่วมแบบแฉบความถี่กว้าง โดยใช้เทคนิคการปรับจูน 2 รูปแบบคือ (1) ใช้เทคนิคสตริป และ สลิท (Strip and Slit) (2) ใช้เทคนิคซองว่างແกนแม่เหล็กไฟฟ้า (Electromagnetic Band Gap : EBG) ในการปรับจูน โดยทำการวิเคราะห์ด้วยการจำลองแบบ (Simulation) โครงสร้างของสายอากาศด้วยโปรแกรม IE3D สายอากาศที่นำเสนอดูกอกออกแบบให้มีการแมตซ์ อิมพีเดนซ์ที่ 50 Ω ให้มีประสิทธิภาพสูงกว่าเดิม 20% สำหรับความถี่ที่ 1.45 – 9.82 GHz และ มีแบนด์วิดท์กว้าง ประมาณ 148.66%

โดยแบบแรกด้วยสายอากาศมีการปรับจูนสตั๊นแบบสามเหลี่ยมผืนผ้า โดยใช้เทคนิคการสตริป (strip) รูปสี่เหลี่ยมที่ฐานรอง และปั๊นปูร่อง (Slit) รูปตัวไอบนสตั๊นรูปสามเหลี่ยม ทำให้ได้ความถี่ใช้งานเท่ากับ 1.67 - 8.22 GHz และ มีแบนด์วิดท์กว้าง ประมาณ 132.3% ส่วนแบบที่สองมีการปรับเพิ่มประสิทธิภาพของสายอากาศโดยใช้เทคนิค EBG ที่มีโครงสร้างเป็นรูปสี่เหลี่ยมที่ตัดหนึ่งกราวด์ โดยคุณสมบัติของ EBG นั้นสามารถทำให้ค่าแบนด์วิดท์และค่าการสูญเสียบ้อนกลับนั้นเพิ่มขึ้น ทำให้ได้ความถี่ใช้งานเท่ากับ 1.45 – 9.82 GHz และ มีแบนด์วิดท์กว้างประมาณ 148.66%

สายอากาศร่องหกเหลี่ยมด้านเท่าที่ป้อนด้วยสายนำสัญญาณระนาบร่วมแบบแฉบความถี่กว้าง จะครอบคลุมความถี่ใช้

งานตามมาตรฐาน DCS, PCS, UMTS,WLAN 802.11 a/b/g, Bluetooth และครอบคลุมบางปีนความถี่ของ IEEE 802.16 WiMAX โดยผลจากการวัดค่าแบนด์วิดท์ และแบบบูรณาการแผ่ พลังงานของสายอากาศมีแนวโน้มใกล้เคียงกับกับผลจากการวิเคราะห์ทั้งการจำลองแบบโครงสร้างสายอากาศ

คำสำคัญ: สายอากาศแบบไมโครสตริป, สายอากาศความถี่กว้าง , การปรับจูนสตั๊น, ซองว่างແกนแม่เหล็กไฟฟ้า

Abstract

This research presents the efficiency improvement of broadband CPW-Fed equilateral hexagonal slot antenna structure, by using two tuning types: (1) Strip and Slit technique and (2) Electromagnetic Band Gap technique. The analysis of antenna structure is simulated by IE3D program. Proposed antenna is designed to have the matches impedance at 50 ohms, for broad band wireless communication network application.

First experiment, the proposed antenna has been efficiency adapted by strip and slit technique. The bandwidth at resonance frequency is about 132.3% (1.676 - 8.224 GHz). The Electromagnetic Band Gap (EBG) technique has been

applied to proposed antenna for bandwidth improvement. The EGB structure is rectangular sharp and posited above ground plane. The characteristics of the EBG can improve the bandwidth and reflection coefficient. The measurement bandwidth of proposed antenna is about 148.66% (2.45 – 9.82 GHz).

The application of proposed antenna use for DCS, PCS, UMTS, WLAN IEEE802.11 a/b/g, Bluetooth and IEEE802.16 WiMAX applications. The simulated bandwidth and radiation pattern of prototype antenna are agreed with the measured results.

Keyword: Microstrip Antenna, Broadband Antenna, Tuning Stub , EBG

1. บทนำ

เทคโนโลยีทางด้านการติดต่อสื่อสารโทรศัพท์เคลื่อนที่ ระบบสื่อสารดาวเทียม ระบบวิทยุสื่อสาร ระบบเรดาร์ อิกหั้งยังนามาใช้ประโยชน์ในงานด้านการศึกษา งานด้านสำรวจทรัพยากร งานด้านธุรกิจ งานด้านการแพทย์และ ทางการทหาร การสื่อสารไร้สายนั้นมีหลากหลายระบบด้วยกัน เช่น ระบบ DCS (1720 – 1880 MHz), ระบบ PCS (1850 – 1990 MHz), ระบบ IMT – 2000 (1920 – 2170MHz), ระบบ WLAN IEEE 802.11 มีสองความถี่คือ 2.4 GHz (2400 – 2484 MHz) และความถี่ 5.2 GHz (5130 – 5350MHz), ระบบ WPAN IEEE 802.15.3a (3.1GHz-10.6GHz) และ WIMAX IEEE 802.16a (2GHz-11GHz)

สายอากาศเป็นส่วนประกอบสำคัญขั้นหนึ่งของ ระบบสื่อสาร ส่วนมากจะรองรับการใช้งานได้เพียงไม่กี่ระบบ เท่านั้น ทำให้มีผู้พัฒนาสายอากาศนิดใหม่ที่สามารถใช้งาน ครอบคลุมปานามความถี่กว้าง ดังเช่น สายอากาศที่มีลักษณะเป็นรูป หกเหลี่ยมด้านเท่าที่บ้อนด้วยสายนำสัญญาณระหว่างแบบแคน ความถี่กว้าง [1] โดยใช้สตั้นสามเหลี่ยมในการปรับแบบดีดีที่ได้ แบบดีดีที่ประมาณ 109.5% อิกหั้งมีงานวิจัยเรื่อง Compact slot antenna with EBG feeding line for WLAN applications [2] ได้แก่ ลักษณะการปรับเพิ่มค่าแบบดีดีที่และค่าความสูญเสีย เนื่องจากการบ้อนกลับ โดยการใช้เทคนิค EBG

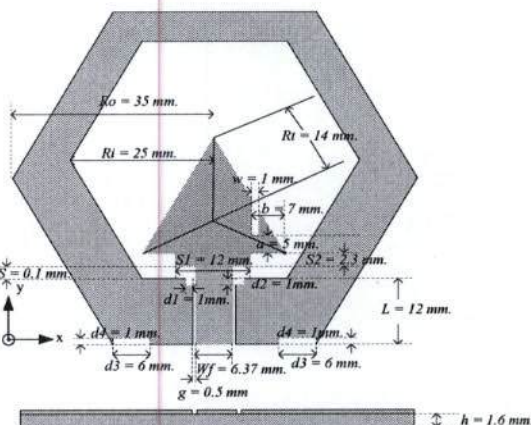
งานวิจัยนี้จึงนำเสนอ “การปรับเพิ่มประสิทธิภาพของ สายอากาศร่องหกเหลี่ยมด้านเท่าที่บ้อนด้วยสายนำสัญญาณ ระหว่างร่วมแบบแคนความถี่กว้างด้วยเทคนิคสติร์บิลโลดร่วมกับ เทคนิคช่องว่างแบบแม่เหล็กไฟฟ้า” ซึ่งเบริญเทียบกับสายอากาศ แบบเท่า [1] ทำให้สายอากาศที่ปรับเพิ่มประสิทธิภาพ ดีกว่าสายอากาศแบบเท่า [1] และให้ผลของแบบดีดีที่กว้างได้ถึงประมาณ 148.66%

นั้นเมื่อการตอบสนองต่อความถี่สูง ที่กว่าสายอากาศแบบเท่า [1] และให้ผลของแบบดีดีที่กว้างได้ถึงประมาณ 148.66%

2. การออกแบบ

ในการออกแบบสายอากาศร่องหกเหลี่ยมด้านเท่าที่บ้อนด้วย สายนำสัญญาณระหว่างร่วมแบบแคนความถี่กว้างด้วยเทคนิคสติร์บิลโลดร่วมกับเทคนิคช่องว่างแบบแม่เหล็กไฟฟ้านี้จะเริ่มด้นด้วยการ นำโครงสร้างสายอากาศร่องหกเหลี่ยมด้านเท่าที่ได้รับการออกแบบ แล้ว [1] ทำการวิเคราะห์ด้วยโปรแกรมจำลอง IE3D เมื่อทราบ คุณลักษณะสมบัติของสายอากาศร่องหกเหลี่ยมด้านเท่าแบบเท่า จากนั้นทำการออกแบบสายอากาศโดยใช้เทคนิคสติร์บิลโลดเพื่อให้ ได้สายอากาศที่มีประสิทธิภาพดีที่สุด ซึ่งมีค่าพารามิเตอร์ ดังต่อไปนี้ $R_o = 35$ มม. $R_i = 25$ มม. $g = 0.5$ มม. $S_1 = 12$ มม. $S_2 = 2.3$ มม. $a = 5$ มม. $b = 7$ มม. $w = 1$ มม. และ $L = 12$ มม.

จากนั้นใช้เทคนิคช่องว่างแบบแม่เหล็กไฟฟ้าในการออกแบบ เพื่อให้ได้สายอากาศที่มีประสิทธิภาพดีที่สุด โดยช่องว่างแบบ แม่เหล็กไฟฟ้า (EBG) มีค่าพารามิเตอร์ ดังต่อไปนี้ $d_1 = 1$ มม. $d_2 = 1$ มม. $d_3 = 6$ มม. $d_4 = 1$ มม. โดยรายละเอียดในการสร้าง แสดงดังรูปที่ 1

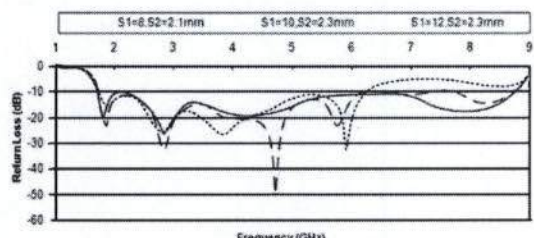


รูปที่ 1 สายอากาศร่องหกเหลี่ยมด้านเท่าที่บ้อนด้วยสายนำสัญญาณ ระหว่างร่วมแบบแคนความถี่กว้างที่ออกแบบ ด้วยเทคนิคสติร์บิลโลดร่วมกับเทคนิคช่องว่างแบบ แม่เหล็กไฟฟ้า

สายอากาศร่องหกเหลี่ยมด้านเท่าที่บ้อนด้วยสายนำสัญญาณ ระหว่างร่วม ที่ได้ออกแบบสับภูรูปสามเหลี่ยมขึ้นมาใหม่ ดังรูปที่ 1 โดยใช้เทคนิคสติร์บิลโลดในการเพิ่มสติร์บิลโลดเพื่อให้ได้รูนของสติร์บิลโลดเพิ่ม โดยค่าความกว้าง (S_1) และ ค่าความสูง (S_2) ของสติร์บิลโลดเพิ่มสามารถแสดงดังตารางที่ 1 ซึ่งมีค่าความกว้าง และค่าความสูงที่เหมาะสมที่สุดที่ทำแห่ง $S_1 = 12$ มม. $S_2 = 2.3$ มม. ทำให้สามารถเพิ่มแบบดีดีที่ของ สายอากาศได้ถึง 22 % ดังแสดงในตารางที่ 1 และ รูปที่ 2

ตารางที่ 1 แสดงการเปรียบเทียบการเปลี่ยนค่า S_1 และ S_2

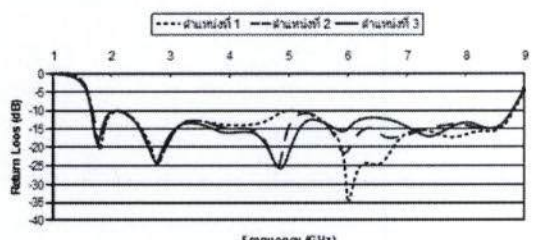
ระยะห่าง (มม.)	$f_l - f_u$ (GHz)	f_c (GHz)	Bandwidth	
			(%)	(GHz)
8	2.1	1.69 - 6.28	3.98	115.32
10	2.3	1.69 - 6.13	3.91	113.55
12	2.3	1.69 - 8.81	5.25	135.62
				7.12

รูปที่ 2 ผลการจำลองแบบค่าการสูญเสียย้อนกลับ โดยการเปลี่ยนค่า S_1 และ S_2

จากผลการจำลองแบบในรูปที่ 2 จะสังเกตเห็นว่า ค่าการสูญเสียย้อนกลับ ในช่วงความถี่บังคับที่มีค่าสูงเพื่อทำการลดค่า ดังกล่าวทางผู้วิจัยจึงได้เพิ่มร่อง (Slit) ญี่ปุ่นตัวไอกับบนสตั๊บ รูปสามเหลี่ยม ดังแสดงในรูปที่ 1 ซึ่งทำให้แนวของร่องนี้จะกำหนด จากปลายด้านขวาของสตั๊บสามารถแสดงดังตารางที่ 2 และรูปที่ 3 โดยทำแนวของร่องญี่ปุ่นตัวไอกับที่เหมาะสมที่สุด อยู่ที่ทำแนวที่ 3

ตารางที่ 2 การเปรียบเทียบทำแนวของการเพิ่มร่องบนสตั๊บ สามเหลี่ยมญี่ปุ่นตัวไอกับ

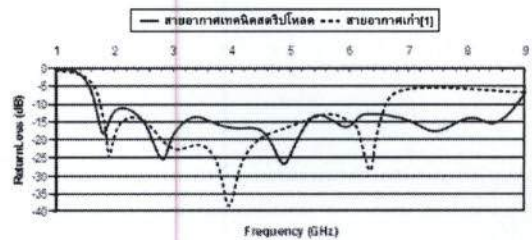
ทำแนวที่	ระยะของ (w)	ระยะของ (a)	ระยะของ (b)
1	1 มม.	3 มม.	7 มม.
2	1 มม.	4 มม.	7 มม.
3	1 มม.	5 มม.	7 มม.



รูปที่ 3 ผลของการจำลองแบบค่าการสูญเสียย้อนกลับ โดยการเปลี่ยนแปลงทำแนวของ การเพิ่มร่อง (Slit) ญี่ปุ่นตัวไอกับบนสตั๊บ รูปสามเหลี่ยม

เมื่อเปรียบเทียบผลของการจำลองแบบค่าการสูญเสียย้อนกลับ ของสายอากาศร่องหกเหลี่ยมด้านเท่า ที่ปรับเพิ่ม ประสิทธิภาพด้วยเทคนิคสติ๊บโลด กับสายอากาศ แบบเก่า [1] ดังแสดงในรูปที่ 4 สามารถสรุปได้ว่าสายอากาศร่องหกเหลี่ยม

ด้านเท่าที่ปรับเพิ่มประสิทธิภาพด้วยเทคนิคสติ๊บโลด มีค่าแบนด์วิดท์ที่กว้างกว่าสายอากาศร่องหกเหลี่ยมด้านเท่าที่ป้อนด้วยสายนำสัญญาณระนาบร่วมแบบเก่า [1] เพิ่มขึ้นจากเดิม 28 %

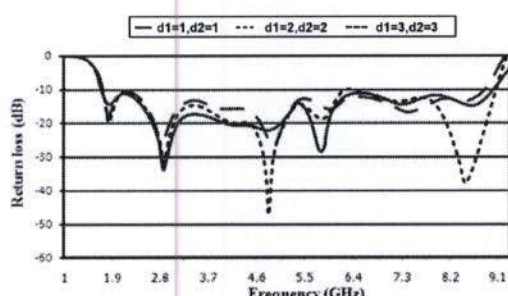


รูปที่ 4 การเปรียบเทียบผลของการจำลองแบบค่าการสูญเสียย้อนกลับ ของสายอากาศร่องหกเหลี่ยมด้านเท่าที่ปรับเพิ่มประสิทธิภาพด้วยเทคนิคสติ๊บโลด กับแบบเก่า

จากนั้นใช้เทคนิคของว่างແแทบแม่เหล็กไฟฟ้าในการออกแบบเพื่อให้ได้สายอากาศร่องหกเหลี่ยมด้านเท่าที่ป้อนด้วยสายนำสัญญาณระนาบร่วมแบบเก็บความถี่ที่กว้างที่มีประสิทธิภาพดีที่สุด แสดงดังรูปที่ 5 โดยการเพิ่ม EBG ญี่ปุ่นเพื่อลดจัตุรัสเข้าไปที่กราวด์ บริเวณได้ฐานของสตั๊บรูปสามเหลี่ยมใกล้กับตัวแน่นสายนำสัญญาณ (Feed Line) โดยมีขนาดของ EBG (d_1, d_2) และดังตารางที่ 3 ซึ่งมีค่าความกว้าง และค่าความสูงที่เหมาะสมที่สุด คือ $d_1 = 1$ มม. $d_2 = 1$ มม. สามารถเพิ่มแบบแบนด์วิดท์ของสายอากาศได้อีก 1.49 % เมื่อเทียบกับการใช้เทคนิคสติ๊บโลด

ตารางที่ 3 แสดงการเปลี่ยนขนาดของว่างແแทบแม่เหล็กไฟฟ้า (EBG) บริเวณได้ฐานของสตั๊บ รูปสามเหลี่ยม

ระยะห่าง (มม.)	$f_l - f_u$ (GHz)	f_c (GHz)	Bandwidth	
			(%)	(GHz)
1	1	1.67 - 9.01	5.34	137.45
2	2	1.67 - 5.95	3.81	112.33
3	3	1.67 - 5.86	3.76	111.43
				4.19

รูปที่ 5 ผลของการจำลองแบบค่าการสูญเสียย้อนกลับโดยปรับเปลี่ยนค่า d_1 และ d_2

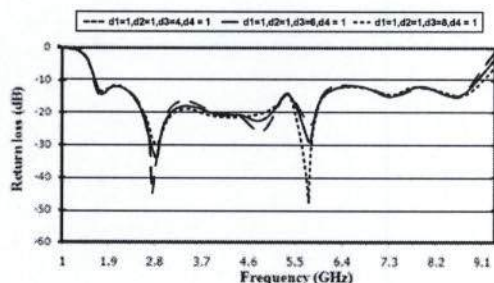
จากการจำลองแบบในรูปที่ 5 จะสังเกตเห็นว่า ค่าการสูญเสียย้อนกลับในช่วงความถี่ 5.5 - 8 GHz ยังมีค่าสูง

ดังนั้นเพื่อทำการลดค่าดังกล่าว ผู้วิจัยจึงได้ใช้เทคนิค EBG โดยการใส่ EBG รูปสี่เหลี่ยมผืนผ้าเข้าไปที่ตัวฐานกราว์ด ดังแสดงในรูปที่ 1 ซึ่งตำแหน่งของ EBG กำหนดจากตำแหน่ง ($x=-10, y=0$) และ ($x=+10, y = 0$) สามารถแสดงดังตารางที่ 4 และรูปที่ 6 โดยตำแหน่งของ EBG ที่เหมาะสมที่สุดมีค่าความกว้าง และค่าความสูงที่เหมาะสมที่สุดที่คือ $d_3 = 6$ มม. $d_4 = 1$ มม.

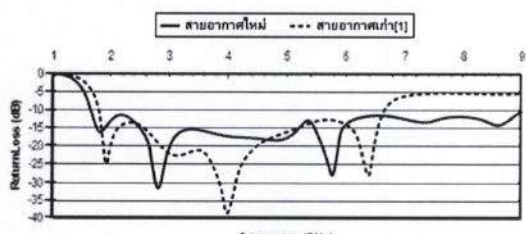
ตารางที่ 4 แสดงเปรียบเทียบการเปลี่ยนขนาด EBG (d_3 และ d_4) บริเวณใต้ฐานกราว์ด

ระยะห่าง (มม.)	$f_L - f_u$ (GHz)	f_c (GHz)	Bandwidth	
			(%)	(GHz)
4	1	1.67 - 8.87	5.27	136.62
6	1	1.67 - 8.92	5.29	137.05
8	1	1.67 - 8.96	5.31	137.28

เมื่อเปรียบเทียบผลของการจำลองแบบค่าการสูญเสีย ย้อนกลับ ของสายอากาศที่ออกแบบด้วยเทคนิค EBG กับสายอากาศแบบเก่า ดังแสดงในรูปที่ 7 สรุปได้ว่าสายอากาศที่ออกแบบด้วยเทคนิคสตริปโลดคร่วมกับเทคนิค EBG มีค่าเบนน์วิดท์ที่กว้างกว่าสายอากาศแบบเก่า [1] โดยมีเบนน์วิดท์เพิ่มขึ้น จากเดิม 27.55% และมีค่าการสูญเสียย้อนกลับที่ตอบสนองได้ดีขึ้น



รูปที่ 6 ผลของการจำลองแบบค่าการสูญเสียย้อนกลับโดยการเปลี่ยนแปลงตำแหน่งของ (EBG) รูปสี่เหลี่ยมผืนผ้า

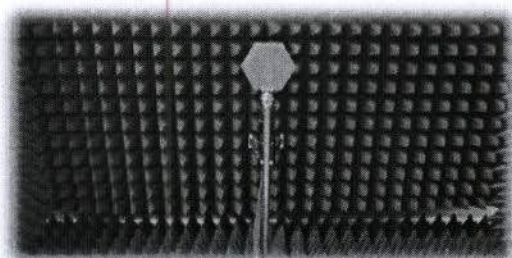


รูปที่ 7 การเปรียบเทียบผลของการจำลองแบบค่าการสูญเสียย้อนกลับของสายอากาศแบบใหม่ที่ออกแบบด้วยเทคนิคสตริปโลดร่วมกับเทคนิคช่องว่างแบบแม่เหล็กไฟฟ้า กับสายอากาศแบบเก่า

3. การสร้างและทดสอบสายอากาศ

จากการจำลองแบบและการปรับค่าพารามิเตอร์ต่างๆ ของสายอากาศด้วยวิธีเชิงประสมการ (Empirical method)

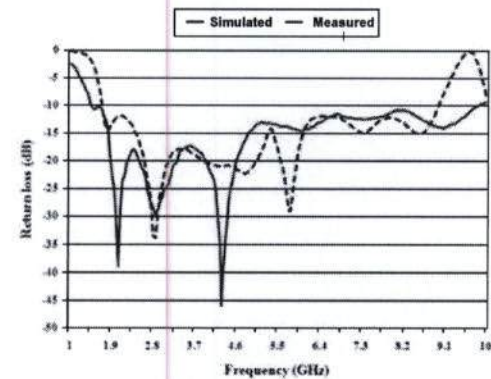
ร่วมกับโปรแกรมโปรแกม IE3D ให้ได้ค่าที่เหมาะสม ซึ่งได้ขึ้นมาด้วยสายอากาศดังรูปที่ 1 และทำการสร้างสายอากาศดันแบบตามขนาดของสายอากาศดังรูปที่ 1 โดยตัวสายอากาศถูกสร้างขึ้นด้วยแผ่นวงจรพิมพ์ชนิด FR-4 ซึ่งมีค่าคงที่ไดอิเล็กทริก (ϵ_r) เท่ากับ 4.4 ค่า Loss Tangent เท่ากับ 0.02 ความสูงของฐานรองไดอิเล็กทริกเท่ากับ 1.6 มม. ความหนาของทองแดงเท่ากับ 0.0018 มม. สายอากาศดันแบบที่สร้างสำเร็จแสดงดังรูปที่ 8



รูปที่ 8 ชิ้นงานสายอากาศดันแบบและการทดสอบสายอากาศ

3.1 การทดสอบวัดค่าความสูญเสียย้อนกลับ

จากนั้นทำการทดสอบวัดค่าการสูญเสียย้อนกลับ โดยใช้เครื่องวิเคราะห์ข่ายงานไฟฟ้า (Network Analyzer) รุ่น N5230C แล้วทำการเปรียบเทียบค่าการสูญเสียย้อนกลับ ของสายอากาศที่ได้สร้างขึ้นกับผลที่ได้จากการจำลอง และผลที่ได้จากการวัดพบว่าสายอากาศมีเบนน์วิดท์กว้าง ประมาณ 148.66% (1.45 GHz - 9.82 GHz) ที่ค่าการสูญเสียย้อนกลับ เท่ากับ -10 dB ดังแสดงในรูปที่ 9



รูปที่ 9 ผลการจำลองแบบและจากการวัดของสายอากาศที่ออกแบบด้วยเทคนิคสตริปโลดร่วมกับเทคนิค (EBG)

เมื่อทำการเปรียบเทียบระหว่างสายอากาศที่ออกแบบด้วยเทคนิคสตริปโลดร่วมกับเทคนิค EBG กับสายอากาศแบบเก่า [1] พบว่ามีขนาดและรูปร่างที่ใกล้เคียงกัน และผลการเปรียบเทียบการวัดพบว่าสายอากาศที่ออกแบบด้วยเทคนิคสตริปโลดร่วมกับเทคนิค EBG มีเบนน์วิดท์เพิ่มขึ้นจากเดิม 39.16% ดังแสดงในตารางที่ 5

ตารางที่ 5 ผลการเปรียบเทียบการวัดและทดสอบระหว่าง
สายอากาศที่ออกแบบด้วยเทคนิคสตีป์โลด
ร่วมกับเทคนิค EGB กับสายอากาศแบบเก่า [1]

สาย อากาศ	ผลการ ดำเนินงาน	$f_L - f_U$ (GHz)	f_C (GHz)	Bandwidth	
				(%)	(GHz)
สายอากาศเก่า ที่ออกแบบมา ใหม่ก้าว [2]	ผลจากการ จำลอง	1.68- 6.07	3.88	113.24	4.39
	ผลจากการวัด	1.86- 6.38	4.12	109.50	4.51
สายอากาศที่ ออกแบบด้วย เทคนิค EBG	ผลจากการ จำลอง	1.67- 8.92	5.29	137.05	7.25
	ผลจากการวัด	1.45- 9.82	5.63	148.66	8.37

4.2 การทดสอบวัดแบบรูปการແเพลิงงานของสายอากาศ

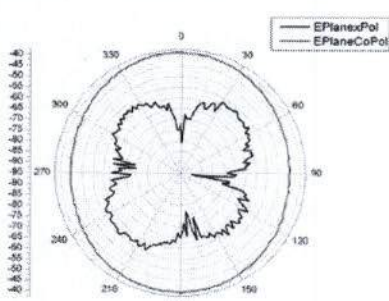
การทดสอบวัดแบบรูปการແเพลิงงานของสายอากาศ โดยต่ออุปกรณ์ตามรูปที่ 10 โดยใช้เครื่องวัดความถี่ที่ช่วยงานไฟฟ้ารุ่น E8257D และโปรแกรม Antenna Measurement studio โดยทำการวัดรูปแบบการແเพลิงงานของสายอากาศที่ความถี่ 2.45 GHz, 5.2 GHz และ 9.2 GHz



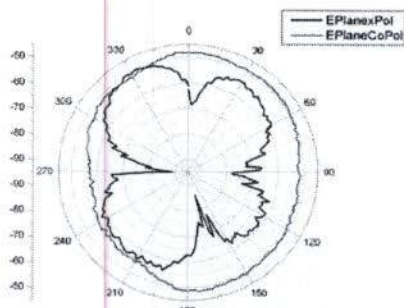
รูปที่ 10 การต่ออุปกรณ์วัดแบบรูปการແเพลิงงานสายอากาศ
ในแนวราบ x-z plane (Co-Polarization)

ผลการวัดแบบรูปการແเพลิงงานของสายอากาศที่ออกแบบด้วยเทคนิคสตีป์โลดร่วมกับเทคนิค EBG ที่สร้างขึ้นในงานวิจัยนี้จะทำการวัดใน ระนาบ x-z และระนาบ y-z

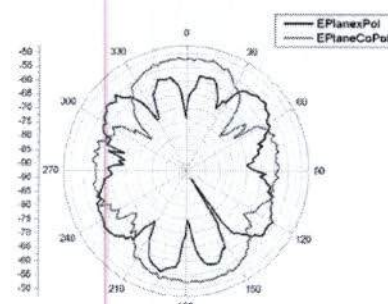
สำหรับผลการวัดแบบรูปการແเพลิงงานของสายอากาศ ระนาบ x-z ดัง แสดงดังรูปที่ 11 รูปที่ 12 และรูปที่ 13 ตามลำดับ พนวณสายอากาศจะมีการแบบรูปการແเพลิงงานรอบทิศ และเมื่อความถี่สูงขึ้นแบบรูปการແเพลิงงานจะเริ่มบิดเบี้ยว และบิดเบี้ยวมากที่สุดที่ ความถี่ 9.2 GHz



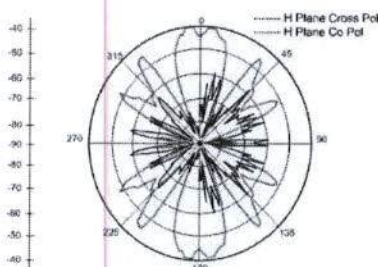
รูปที่ 11 ผลการการวัดการແเพลิงงานสายอากาศ
ที่ความถี่ 2.45 GHz ระนาบ x-z



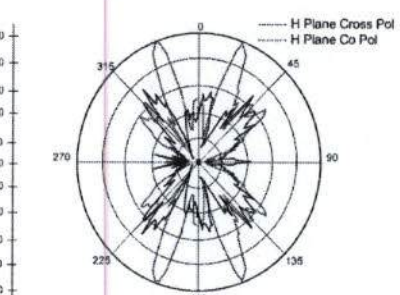
รูปที่ 12 ผลการการวัดการແเพลิงงานสายอากาศ
ที่ความถี่ 5.2 GHz ระนาบ x-z



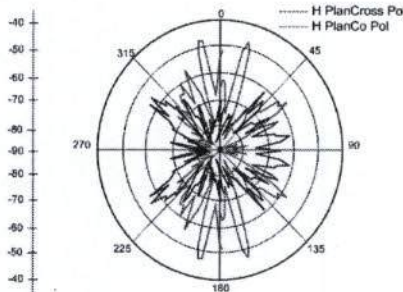
รูปที่ 13 ผลการการวัดการແเพลิงงานสายอากาศ
ที่ความถี่ 9.2 GHz ระนาบ x-z



รูปที่ 14 ผลการการวัดการແเพลิงงานสายอากาศ
ที่ความถี่ 2.45 GHz ระนาบ y-z



รูปที่ 15 ผลการการวัดการແเพลิงงานสายอากาศ
ที่ความถี่ 5.2 GHz ระนาบ y-z



รูปที่ 16 ผลการการวัดการแผ่พลังงานสายอากาศ ที่ความถี่ 9.2 GHz บน y-z

สำหรับผลการวัดแบบบูรณาการแผ่พลังงานของสายอากาศ ดังแสดงดังรูปที่ 14 รูปที่ 15 และรูปที่ 16 ตามลำดับ พบว่า สายอากาศจะมีการแบบบูรณาการแผ่พลังงานกระฉับกระชูบ กิจทาง และมีความถี่สูงขึ้นแบบบูรณาการแผ่พลังงาน จะเริ่มกระฉับกระชูบมากขึ้นและกระฉับกระชูบมากที่สุดที่ ความถี่ 9.2 GHz

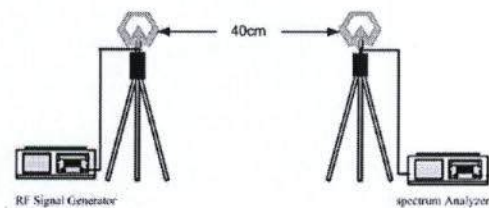
สรุปได้ว่า สายอากาศ ที่สร้างขึ้นในงานวิจัยนี้ สามารถรับ การแผ่พลังงาน ของคลื่นแบบ Co-Polarization และ Cross-Polarization ที่สุดที่ ความถี่ 2.45 GHz และแบบบูรณาการแผ่ พลังงานของสายอากาศ มีบูรณาการแผ่พลังงานใกล้เคียงกับผลการ จำลอง ส่วนที่ความถี่ 9.2 GHz เริ่มมีการบิดเบี้ยว ของแบบบูรณาการ แผ่พลังงานมากที่สุด

3.3 การทดสอบอัตราขยายของสายอากาศ

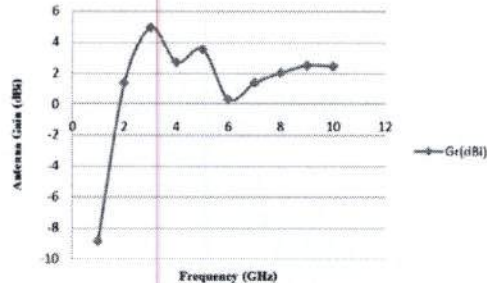
การวัด อัตราขยาย ของสายอากาศ ทำการต่ออุปกรณ์ ตามรูปที่ 17 มีเครื่องกำเนิดสัญญาณ (RF Signal Generator) เป็นตัวป้อนสัญญาณที่ความถี่ 1-10 GHz ส่งกำลังคลื่นออกไป 0 dBm โดยผ่านสายโดยสารเชิงลึก ชนิด RG-142 ที่มีอิมพีเดนซ์ 50 Ω ไปยังสายอากาศรูปปากแตร (Horn Antenna) ที่เป็นตัว ส่งสัญญาณแผ่ไปยังสายอากาศ หกเหลี่ยม ที่เป็นตัวรับสัญญาณ ซึ่งเป็นสายอากาศที่จะทำการทดสอบโดยผ่านสายโดยสารเชิงลึก เข้าเครื่องวิเคราะห์แทนความถี่ (spectrum Analyzer) ซึ่งจะได้ค่า ความแรงของสัญญาณความถี่สูงที่รับได้ แล้วนำมาคำนวณเพื่อหา อัตราขยายของสายอากาศของสายอากาศที่สร้างขึ้น

เนื่องจาก สายอากาศที่ไม่ทดสอบดังรูปที่ 17 มีอัตราขยาย เท่ากันหั้นด้านรับและส่งดังนั้นสามารถคำนวณหา อัตราขยาย ของ สายอากาศที่สร้างขึ้นจากสูตร

$$(G_{dr})_{dB} = (G_{sr})_{dB} = \left(\frac{1}{2} \right) \left[20 \log_{10} \left(\frac{4\pi R}{\lambda} \right) + 10 \log \left(\frac{P_r}{P_t} \right) \right]$$



รูปที่ 17 การวัดอัตราขยายของสายอากาศ



รูปที่ 18 ผลของอัตราขยายของสายอากาศ ที่ได้จากการวัด

จากรูปที่ 18 ผลของอัตราการขยายพลังงานสูงสุดของสายอากาศ ที่ความถี่เรโซแนนซ์ ณ ความถี่ 3 GHz เท่ากับ 4.9dB และผลของ อัตราการขยายพลังงานต่ำสุด ณ ความถี่ 7 GHz เท่ากับ 1.39 dB

4. สรุปผล

งานวิจัยนี้นำเสนอการพัฒนาสายอากาศแบบใหม่ โครงสร้าง ที่มีการ การพัฒนาปรับเพิ่มประสิทธิภาพของสายอากาศ ร่อง หกเหลี่ยมด้าน เท่าที่ป้อนด้วยสายนำสัญญาณระหว่างแนวแบบ แทนความถี่กว้าง โดยเทคนิค EBG นั้น ทำให้ได้ค่า แบบดิจิตที่เพิ่มขึ้นและค่าการสูญเสียขอนกลับลดลง ซึ่งครอบคลุม การใช้งานในปัจจุบันถึงของระบบสื่อสารไร้สาย จากผลการวิจัย พบว่าสายอากาศมีแบบดิจิตที่ค่าการสูญเสียขอนกลับต่ำกว่า -10 dB ที่ความถี่ 1.45 - 9.82 GHz หรือมีค่าเปอร์เซ็นต์แบบดิจิต 148.66 % และเมื่อเปรียบเทียบค่าการสูญเสียขอนกลับระหว่าง สายอากาศที่ออกแบบด้วยเทคนิคโครงสร้างร่องกับเทคนิค EBG และสายอากาศแบบเก่า [1] ผลปรากฏว่าสายอากาศที่ออกแบบ ด้วยเทคนิคโครงสร้างร่องกับเทคนิค EBG มีแบบดิจิตที่เพิ่มขึ้น จากเดิม 39.16% และ แบบบูรณาการแผ่พลังงานของสายอากาศ มีบูรณาการแผ่พลังงานใกล้เคียงกับผลการจำลอง โดยที่อัตราการ ขยายพลังงานสูงสุดของสายอากาศที่ความถี่ 3 GHz เท่ากับ 4.9dBi ดังนั้นงานวิจัยนี้สามารถนำไปประยุกต์ในการออกแบบ และสร้างสายอากาศ แบบแทนความถี่กว้างของระบบสื่อสารไร้สาย ต่างๆ เช่น DCS, PCS, UMTS, WLAN 802.11 a/b/g, Bluetooth และครอบคลุมมานความถี่ IEEE 802.16 WiMAX ได้ถึง 85.25 %

5. เอกสารอ้างอิง

- [1] ไกรศร สาริกา. 2549 . สายอากาศร่องหกเหลี่ยมด้าน เท่าที่ป้อนด้วยสายนำสัญญาณระหว่างแนวแบบ แทน ความถี่กว้าง. วิทยานิพนธ์วิศวกรรมศาสตร์มหาบัณฑิต สาขาวิชาศิกรรมไฟฟ้า ภาควิชาศิกรรมไฟฟ้า บัณฑิต วิทยาลัย สถาบันเทคโนโลยีพระจอมเกล้าพระนครเหนือ.
- [2] A. Danideh, A.A. Loft Neyestanak, M.N. Moghaddasi and, G. Dadashzadeh, "Compact slot antenna with EBG feeding line for WLAN applications" Progress In Electromagnetics Research C, Vol. 10, 87-99, 2009.